

Bild C1: Radialgitter (Siemenssterne) N-W, W-N, N-Z und W-Z; PS-Operator: $w^*lin\ 1.0\ exp\ setgray$

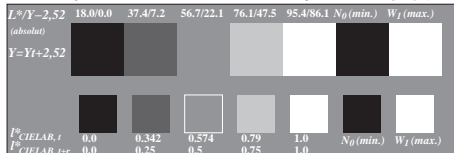


Bild C2: 5 visuell gleichabständige L^* -Graustufen + N_0 + W_1 ; PS-Operator: $w^*lin\ 1.0\ exp\ setgray$

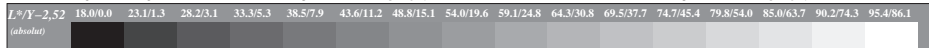


Bild C3: 16 visuell gleichabständige L^* -Graustufen; PS-Operator: $w^*lin\ 1.0\ exp\ setgray$; benutze Datei www.bam.de/KG87/10B/B87G00FA.PS oder [B87G00FP.PS](http://www.bam.de/B87G00FP.PS)/PDF für DPS-/PDF-Systeme zur Bild-Ergänzung



Bild C3: 16 visuell gleichabständige L^* -Graustufen; PS-Operator: $w^*lin\ 1.0\ exp\ setgray$; benutze Datei www.bam.de/KG87/10B/B87G00FA.PS oder [B87G00FP.PS](http://www.bam.de/B87G00FP.PS)/PDF für DPS-/PDF-Systeme zur Bild-Ergänzung

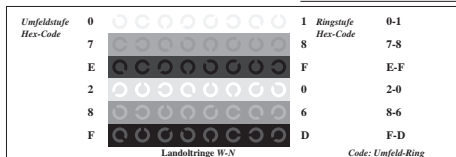


Bild C4: Landoltringe W-N; PS-Operator: $w^*lin\ 1.0\ exp\ setgray$

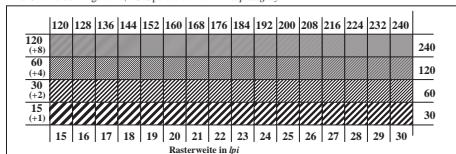


Bild C5: Linienraster unter 45° (oder 135°); PS-Operator: $w^*lin\ 1.0\ exp\ setgray$

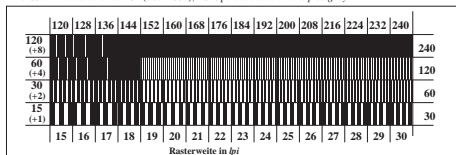


Bild C6: Linienraster unter 90° (oder 0°); PS-Operator: $w^*lin\ 1.0\ exp\ setgray$